

УДК 535.34+535.37+621.373 : 535

ВЛИЯНИЕ ПЛЕНЕНИЯ ИЗЛУЧЕНИЯ  
НА СПОНТАННОЕ ИСПУСКАНИЕ  
И КОЭФФИЦИЕНТ ПОГЛОЩЕНИЯ СЛАБОЙ ВОЛНЫ  
В ПОЛЕ СИЛЬНОЙ ОДНОНАПРАВЛЕННОЙ ВОЛНЫ

Л. А. Васильева и С. Г. Зейгер

Рассмотрено взаимодействие газового ансамбля со слабой волной в присутствии сильной. Получены выражения для коэффициента усиления слабой волны, интенсивности спонтанного испускания и для коэффициента корреляции в спонтанном испускании волн. Показано, что в модели трех релаксационных констант при малой ширине нижнего уровня нельзя считать произвольным отношение заселенностей уровней в отсутствие поля. Пленение излучения приводит к появлению узкого провала в контуре испускания, центр которого приходится на частоту сильной волны. В случае, когда имеется пленение излучения с верхнего уровня или пленение излучения с нижнего уровня, а накачка на верхний, в контуре спонтанного испускания также имеется узкий провал на частоте сильной волны. В случае, когда существует пленение излучения с нижнего уровня и накачка на нижний уровень, в контуре спонтанного испускания на частоте сильной волны существует узкий пичок. С ростом амплитуды сильного поля указанные провалы и пичок в контурах исчезают.

Взаимодействие газа с сильной волной при наличии упругих столкновений или пленения излучения рассматривалось в работе Кольченко и Раутиана [1]. Взаимодействие газовой среды с двумя не слишком сильными волнами рассматривалось в [2, 3]. В настоящей работе находится интенсивность спонтанного испускания и коэффициент усиления слабой волны в присутствии сильной, резонансной тому же переходу, в котором существует пленение излучения или упругие столкновения, при которых разрушается оптическая когерентность.

Матрица плотности газового ансамбля

Найдем матрицу плотности газового ансамбля, используя разложение в ряд по амплитуде слабого поля и ограничиваясь членами первого порядка:  $\rho = \rho^{(0)} + \rho^{(1)}$ . Матрица плотности нулевого приближения  $\rho^{(0)}$  является решением задачи о взаимодействии атома с сильным полем. В матрице плотности первого приближения  $\rho^{(1)}$  можно отделить часть  $\rho^u$ , возникающую при вынужденном излучении слабой волны и, следовательно, определяющую спонтанное испускание атома, от части  $\rho^n$ , возникающей при поглощении слабой волны [4, 5].

Запишем систему уравнений для  $\rho^{(0)}$ ,  $\rho^u$  и  $\rho^n$  в резонансном приближении [6] ( $\omega_{mn} \gg \gamma_{mn}$ )

$$\left. \begin{aligned} \frac{d\rho_{kk}^{(\alpha)}}{dt} &= -\gamma_k \rho_{kk}^{(\alpha)} + \nu_k W(v) \overline{\rho_{kk}^{(\alpha)}} - i [V^{(0)}, \rho^{(\alpha)}]_{kk} - i [V^{(1)}, \rho^{(0)}]_{kk} \times \\ &\quad \times (\delta_{\alpha k} \delta_{k m} + \delta_{\alpha l} \delta_{k n}) + \lambda_k W(v) \delta_{\alpha l}, \quad \kappa = m, n; \quad W(v) = (u \sqrt{\pi})^{-1} e^{-v^2/u^2}, \\ \frac{d\rho_{mn}^{(\alpha)}}{dt} &= -(\gamma_{mn} + i \omega_{mn}) \rho_{mn}^{(\alpha)} - i V_{mn}^{(0)} (\rho_{nn}^{(\alpha)} - \rho_{mm}^{(\alpha)}) - i V_{mn}^{(1)} (\rho_{nn}^{(0)} \delta_{\alpha n} - \rho_{mm}^{(0)} \delta_{\alpha m}), \end{aligned} \right\} \quad (1)$$

где  $\alpha = 0$ ; и,  $\pi$ ,  $\delta_{\alpha n}$ ,  $\delta_{k m}$  — символы Кронекера;  $\hbar V_{mn}^{(l)} = -(dE^{(l)} + \text{к. с.})$ ;  $E^{(l)} = E_l \exp[-i(\omega_l t - k_l z)]$  — матричные элементы оператора энергии вза-

имодействия атома с сильной волной  $E^{(0)}$  и слабой волной  $E^{(1)}$ ;  $d \equiv d_{mn}$  — дипольный момент перехода; черта обозначает интегрирование по скорости атома:  $\overline{\rho_{kk}^{(\alpha)}} = \int \rho_{kk}^{(\alpha)} dv$ ;  $\nu_k$  частоты упругих столкновений.

Приведем решение нулевого приближения  $\rho^{(0)}$  [1] уравнений (1) в случае, когда частота сильной волны близка к центру линии:  $|\omega_0 - \omega_{mn}| \ll ku$  и ширина беннетовского провала  $\Gamma$  гораздо меньше чем  $ku$ .

$$\left. \begin{aligned} \rho_{kk}^{(0)} &= N_k W(v) - \frac{2(N_k - N_l) |dE_0|^2 \gamma_{mn}}{\hbar^2 \gamma_k (\Gamma^2 + \xi^2)} W(v), \\ d^* \rho_{mn}^{(0)} &= M^{(0)} E^{(0)}, \quad M^{(0)} = -\frac{i |d|^2 (N_m - N_n)}{\hbar (\Gamma^2 + \xi^2)} (\gamma_{mn} + i\xi) W(v), \end{aligned} \right\} \quad (2)$$

где

$$\left. \begin{aligned} N_k &= N_{k0} - \frac{\gamma f \zeta_{k0} (N_{k0} - N_{l0})}{1 + a}, \quad \Gamma = \gamma_{mn} \left[ 1 + 2 \left| \frac{dE_0}{\hbar} \right|^2 \frac{1}{\gamma_{mn}} \left( \frac{1}{\gamma_m} + \frac{1}{\gamma_n} \right) \right]^{1/2}, \\ \xi &= \omega_0 - \omega_{mn} - kv; \quad N_{k0} = \frac{\lambda_k}{\gamma_k - \nu_k}; \quad f = \frac{\Gamma^2 - \gamma_{mn}^2}{\Gamma \gamma_{mn}}; \quad \eta = \frac{\sqrt{\pi}}{ku (\gamma_m^{-1} + \gamma_n^{-1})}; \\ a &= f \eta (\zeta_{m0} + \zeta_{n0}); \quad \zeta_{k0} = \frac{\nu_k \gamma_{mn}}{\gamma_k (\gamma_k - \nu_k)}; \quad k, l = m, n; \quad k \neq l, \end{aligned} \right\} \quad (3)$$

Зависимость матричных элементов матриц плотности первого приближения от поля  $E^{(1)}$  имеет следующий вид:

$$\left. \begin{aligned} d^* \rho_{mn}^{(\alpha)} &= M^{(\alpha)} E_1 e^{-i(\omega_1 t - k_1 z)} + L^{(\alpha)} E_1^* E_0^2 e^{-i[(2\omega_0 - \omega_1)t - (2k_0 - k_1)z]/|dE_0|^2}, \\ \rho_{kk}^{(\alpha)} &= R_k^{(\alpha)} E_1 E_0^* e^{-i[(\omega_1 - \omega_0)t - (k_1 - k_0)z]} + \text{к. с..} \end{aligned} \right\} \quad (4)$$

Решая систему (1), получим выражения для коэффициентов  $M^{(\alpha)}$ ,  $L^{(\alpha)*}$

$$M^{(\alpha)} = M_0^{(\alpha)} + i |dE_0|^2 Q^{(\alpha)} D_1 / \hbar^2, \quad L^{(\alpha)*} = L_0^{(\alpha)*} - i |dE_0|^2 Q^{(\alpha)} D_2 / \hbar^2, \quad (5)$$

$$\left. \begin{aligned} D_q &\equiv h_q/G, \quad q = 1, 2; \quad h_1 \equiv [\gamma_{mn} + i(\omega_{mn} - \omega'_1)]^{-1}; \quad h_2 \equiv [\gamma_{mn} - i(\omega_{mn} - 2\omega'_0 + \omega'_1)]^{-1}; \\ \omega'_1 &= \omega_l - k_1 v, \\ G &\equiv 1 + |dE_0|^2 (h_1 + h_2) (j_m + j_n) / \hbar^2; \quad j_k \equiv [\gamma_k + i(\omega'_0 - \omega'_1)]; \quad k = m, n, \\ Q^{(\alpha)} &\equiv \hbar (j_n \nu_n \overline{R_n^{(\alpha)}} - j_m \nu_m \overline{R_m^{(\alpha)}}). \end{aligned} \right\} \quad (6)$$

Коэффициенты  $M_0^{(\alpha)}$ ,  $L_0^{(\alpha)}$  связаны с матрицей плотности нулевого приближения  $\rho^{(0)}$ , так же как и в отсутствие упругих столкновений, и могут быть получены из уравнений (1) при  $\nu_m = \nu_n = 0$ . Приведем усредненные по скорости выражения  $\overline{M_0^{(\alpha)}}$ ,  $\overline{L_0^{(\alpha)*}}$  в случае односторонних волн

$$\left. \begin{aligned} \overline{M_0^{(\alpha)}} &= -iz \left\{ (N_m \delta_{\alpha\alpha} - N_n \delta_{\alpha\alpha}) - \frac{2 \gamma_{mn} |dE_0|^2 (\gamma_m^{-1} \delta_{\alpha\alpha} + \gamma_n^{-1} \delta_{\alpha\alpha}) N_0}{\hbar^2 \Gamma (\gamma_{mn} + \Gamma - i\Delta)} - \right. \\ &- \frac{|dE_0|^2}{\hbar^2} \left\{ (j_m + j_n) \left[ (N_m \delta_{\alpha\alpha} - N_n \delta_{\alpha\alpha}) [\beta^{-1} - 2(\gamma_{mn} + \beta - i\Delta)^{-1}] - 2 \frac{|dE_0|^2}{\hbar^2} \times \right. \right. \\ &\times N_0 \gamma_{mn} (\gamma_m^{-1} \delta_{\alpha\alpha} + \gamma_n^{-1} \delta_{\alpha\alpha}) (\Gamma + \beta)^{-1} [(2\beta)^{-1} - 2(\gamma_{mn} + \beta - i\Delta)^{-1} (\Gamma + \gamma_{mn} - \\ &- i\Delta)^{-1}] \left. \right] + N_0 (j_m \delta_{\alpha\alpha} + j_n \delta_{\alpha\alpha}) (\Gamma + \beta)^{-1} [1 + \gamma_{mn} (\gamma_{mn} - i\Delta) (\beta \Gamma)^{-1}] \right\} \times \\ &\times \exp [-(\omega_1 - \omega_{mn})^2 / (ku)^2], \\ \overline{L_0^{(\alpha)*}} &= -iz \frac{|dE_0|^2}{\hbar^2} \left\{ (j_m + j_n) \left[ (N_m \delta_{\alpha\alpha} - N_n \delta_{\alpha\alpha}) \beta^{-1} - 2N_0 \frac{|dE_0|^2}{\hbar^2} \times \right. \right. \\ &\times \gamma_{mn} (\gamma_m^{-1} \delta_{\alpha\alpha} + \gamma_n^{-1} \delta_{\alpha\alpha}) (\Gamma \beta)^{-1} (\Gamma + \beta)^{-1} \left. \right] + N_0 (j_m \delta_{\alpha\alpha} + j_n \delta_{\alpha\alpha}) \times \\ &\times [\gamma_{mn} (\gamma_{mn} - i\Delta) (\beta \Gamma)^{-1} - 1] (\Gamma + \beta)^{-1} \right\} \exp [-(\omega_1 - \omega_{mn})^2 / (ku)^2]. \end{aligned} \right\} \quad (7)$$

где

$$\left. \begin{aligned} \Delta &\equiv \omega_1 - \omega_0; \quad \beta \equiv [(\gamma_{mn} - i\Delta)^2 + 2 |dE_0|^2 (j_m + j_n) (\gamma_{mn} - i\Delta) / \hbar^2]^{1/2}; \quad \text{Re } \beta > 0; \\ z &\equiv d^2 \sqrt{\pi} / (\hbar k u); \quad N_0 \equiv N_m - N_n = N_{00} / (1 + a); \quad N_{00} \equiv N_{m0} - N_{n0}. \end{aligned} \right\} \quad (8)$$

Для определения поляризуемостей среды  $\overline{M^{(\alpha)}}$ ,  $\overline{L^{(\alpha)}}$  следует вычислить величины  $\overline{Q^{(\alpha)}D_q} = \int Q^{(\alpha)}D_q dv$ . В случае однонаправленных волн<sup>1</sup> разность частот волн, и, следовательно, величина  $Q^{(\alpha)}$  (6) не зависят от скорости атома, так что  $\overline{Q^{(\alpha)}D_q} = Q^{(\alpha)}\overline{D_q}$ . Выполнив интегрирование по вычетам, получим  $\overline{D_q} \equiv \int D_q dv$

$$\overline{D_1} = \overline{D_2} = \frac{\sqrt{\pi}}{\beta k u} (\gamma_{mn} - i\Delta). \quad (9)$$

Подставив выражения (5) для  $M^{(\alpha)}$ ,  $L^{(\alpha)}$  в уравнения (1) для заселенности  $\rho_{kk}^{(\alpha)}$  и интегрируя их по скорости атома  $v$ , найдем  $Q^{(\alpha)}$  [см. (6)]

$$Q^{(\alpha)} = i \frac{(\zeta_n + \zeta_m)(\overline{M_0^{(\alpha)}} - \overline{L_0^{(\alpha)*}}) - \overline{M^{(0)*}}(\zeta_m \delta_{\alpha n} + \zeta_n \delta_{\alpha m})}{(\gamma_{mn} - i\Delta)[1 + 2|dE_0|^2 \sqrt{\pi} (\zeta_m + \zeta_n)/(\hbar^2 \beta \cdot ku)]}, \quad (10)$$

$$\zeta_k \equiv \nu_k (\gamma_{mn} - i\Delta)/((\gamma_k - i\Delta)(\gamma_k - \nu_k - i\Delta)).$$

Здесь  $M^{(0)}$  — поляризуемость газового ансамбля для сильной волны [см. (2)]

$$\overline{M^{(0)}} \equiv \int M^{(0)} dv = -i\zeta N_0 \frac{\gamma_{mn}}{\Gamma} e^{-(\omega_0 - \omega_{mn})^2/(ku)^2}. \quad (11)$$

Из формулы (10) видно, что коэффициент  $Q^{(\alpha)}$ , определяющий искажение контура вследствие упругих столкновений, весьма просто выражается через поляризуемости газа  $\overline{M_0^{(\alpha)}}$ ,  $\overline{L_0^{(\alpha)*}}$ ,  $\overline{M^{(0)}}$ , которые связаны с заселеностями уровней  $N_m$ ,  $N_n$  вычисленными с учетом столкновений, по тем же соотношениям, что и в отсутствие столкновений.

Выражения (5)–(10) определяют коэффициенты  $\overline{M^{(\alpha)}}$ ,  $\overline{L^{(\alpha)*}}$ , характеризующие поляризуемость газового ансамбля

$$\overline{M^{(\alpha)}} = \overline{M_0^{(\alpha)}} + \overline{A^{(\alpha)}}; \quad \overline{L^{(\alpha)*}} = \overline{L_0^{(\alpha)*}} - \overline{A^{(\alpha)}}; \quad \overline{A^{(\alpha)}} = i|dE_0|^2 Q^{(\alpha)} \overline{D_1}/\hbar^2. \quad (12)$$

Суммарные коэффициенты  $\overline{M_0^{(1)}} = \overline{M_0^{(n)}} + \overline{M_0^{(p)}}$ ,  $\overline{L_0^{(1)}} = \overline{L_0^{(n)}} + \overline{L_0^{(p)}}$ , определяющие форму контура усиления в отсутствие пленения излучения или упругих столкновений, были вычислены в работах [7, 8].

### Коэффициент усиления газовой среды

Проанализируем коэффициент усиления слабой волны  $g = -4\pi\omega \operatorname{Im} \overline{M^{(1)}}$  и коэффициенты усиления амплитудной ( $g_A$ ) и фазовой ( $g_\phi$ ) модуляций [8]:  $g_A = -4\pi\omega \operatorname{Im} (\overline{M^{(1)}} - \overline{L^{(1)*}})$ ,  $g_\phi = -4\pi\omega \operatorname{Im} (\overline{M^{(1)}} + \overline{L^{(1)*}})$ .

Зависимость поляризуемостей  $M^{(1)}$ ,  $L^{(1)}$  от числа упругих столкновений определяется двумя явлениями. Во-первых, имеет место изменение поляризуемостей из-за изменения заселеностей уровней  $N_k$  при наличии упругих столкновений («полоса»), во-вторых, дополнительное изменение модуляции заселеностей — член  $A^{(\alpha)}$  в формулах (12), — определяющее искажение формы контуров усиления  $g$  и  $g_A$ . В контуре усиления фазовой модуляции  $g_\phi$  такого искажения нет, так как коэффициент  $(M^{(\alpha)} + L^{(\alpha)*})$  не зависит от  $A^{(\alpha)}$  [см. (12)]. Максимальное изменение коэффициентов усиления  $g$ ,  $g_A$ , вызванное дополнительной модуляцией разности заселеностей  $A^{(\alpha)}$ , имеет место, когда частота слабой волны совпадает с частотой сильной (т. е.  $\Delta = 0$ ). Из (7), (8), (12) получим  $M^{(1)}$ ,  $M^{(1)} - L^{(1)*}$  при  $\Delta = 0$

$$\left. \begin{aligned} \overline{M}_1 &= \frac{\overline{M}_0^{(1)}}{1+a}, & \overline{M}^{(1)} - \overline{L}^{(1)*} &= \overline{M}_0^{(1)} - \overline{L}_0^{(1)*} - \frac{2a\overline{M}_0^{(1)}}{1+a}, \\ \overline{M}_0^{(1)} - \overline{L}_0^{(1)*} &= -i\zeta N_0 \frac{\gamma_{mn}^3}{\Gamma^3}, & \overline{M}_0^{(1)} &= -i\zeta N_0 \frac{\gamma_{mn}}{2\Gamma} \left(1 + \frac{\gamma_{mn}^2}{\Gamma^2}\right). \end{aligned} \right\} \quad (13)$$

<sup>1</sup> В случае встречных волн коэффициенты  $\int Q^{(\alpha)}D_q dv$  равны нулю, так что упругие столкновения не изменяют формы контура усиления, которая была проанализирована в [6].

Отсюда видно, что коэффициент  $\bar{M}^{(1)}$  уменьшается вследствие дополнительной модуляции разности заселеностей, вызванной упругими столкновениями, но знака не меняет. Коэффициент усиления амплитудной модуляции  $g_A$  при наличии упругих столкновений с ростом поля меняет знак (что видно из рис. 1, *a* и *б*) при амплитуде поля, удовлетворяющей условию [см. (13)],

$$a \equiv b \frac{\Gamma^2 - \gamma_{mn}^2}{\Gamma \gamma_{mn}} = \frac{\gamma_{mn}^2}{\Gamma^2}. \quad (14)$$

Например, в случае соотношения параметров:  $\gamma_m = \gamma_n = \gamma_{mn} = \gamma = 10^{-2} ku$ ,  $\nu_n = 0$ ,  $\nu_m = 0.9 \gamma_m$ , получим  $b \approx 0.076$ ,  $\Gamma \approx 2.56 \gamma$ , что дает для безразмерной интенсивности поля, при которой меняется знак коэффициента усиления амплитудной модуляции, значение  $\chi = \Gamma^2 / \gamma_{mn}^2 - 1 = 5.05$ .

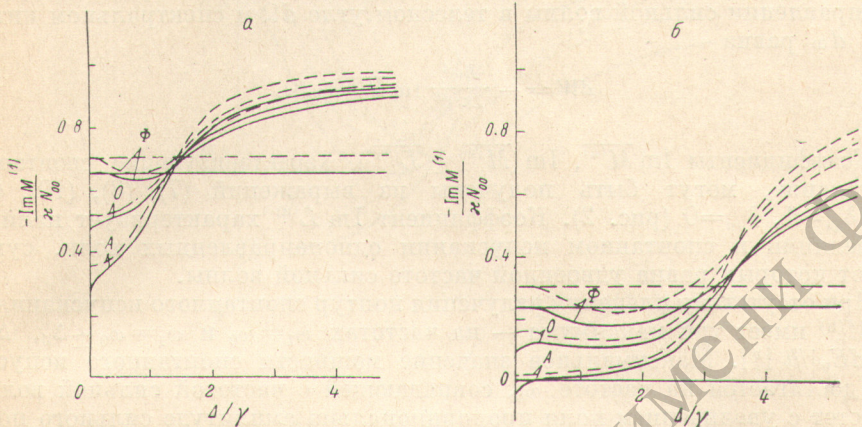


Рис. 1. Контур усиления слабой волны при  $\gamma_m = \gamma_n = \gamma_{mn} = \gamma = 10^{-2} ku$ ,  $w_0 = \omega_{mn}$ ,  $\nu = 0.9 \gamma$ .  
Безразмерная интенсивность сильного поля  $z$ : *a* — 1, *б* — 10.

$O = \text{Im } \bar{M}^{(1)} / (zN_{00})$ ,  $A = \text{Im } (\bar{M}^{(1)} - \bar{L}^{(1)*}) / zN_{00}$ ,  $\Phi = \text{Im } (\bar{M}^{(1)} + \bar{L}^{(1)*}) / zN_{00}$ . Штриховыми линиями обозначены соответствующие кривые в отсутствие пленения излучения ( $\nu = 0$ ).

Рассмотрим зависимость коэффициента усиления  $-\text{Im } \bar{M}^{(1)}$  от частоты слабой волны (от  $\Delta = \omega_1 - \omega_0$ ) в случае достаточно сильного поля ( $\Gamma \gg \gamma_{mn}$ ). Пусть  $\gamma_m = \gamma_n = \gamma_{mn}$ ,  $\nu_m = 0$ ,  $\nu_n = \nu$  либо  $\nu_m = \nu$ ,  $\nu_n = 0$ . При малых расстройках имеем  $\beta = \Gamma$  и из формул (7)–(9), (12) — получим

$$A^{(1)} = \frac{i z N_0 \nu \sqrt{\pi} (2\gamma_{mn} - i\Delta)}{8ku (\Gamma_\nu - i\Delta)}; \quad \Gamma_\nu = \gamma_m - \nu + \frac{\Gamma \nu \sqrt{\pi}}{2ku}. \quad (15)$$

Отсюда видно, что модуляционная добавка к коэффициенту усиления  $(-\text{Im } A^{(1)})$  отрицательна. Вблизи центра линии при  $\Delta \ll \gamma_{mn}$  контур величины  $(-\text{Im } A^{(1)})$  является лоренцевым контуром ширины  $\Gamma_\nu$  и определяет появление провала в контуре усиления с центром на частоте сильного поля  $\omega_1 = \omega_0$ . Ширина провала растет с ростом поля (с ростом  $\Gamma$ ).

При больших расстройках — вблизи величины штарковского сдвига  $\Delta_0 = 2 |dE_0/h|$  — знак модуляционного члена  $\text{Im } A^{(1)}$  изменяется: при  $0 \leq \Delta < \Delta_0$  член  $A^{(1)}$  уменьшает усиление, при  $\Delta > \Delta_0$  увеличивает

$$\frac{\text{Im } A^{(1)}}{\text{Im } \bar{M}_0^{(1)}} \approx \begin{cases} -\frac{\Gamma_\nu \sqrt{\pi}}{2ku \gamma}, & \gamma_{mn} \ll \Delta < \Delta_0; \\ \frac{\Gamma}{ku} \frac{\Gamma \sqrt{\pi}}{4\Delta} \frac{\nu}{\sqrt{\Delta^2 - \Delta_0^2}}, & \Delta > \Delta_0. \end{cases} \quad (16)$$

Из формулы (16) видно, что при всех расстройках, больших по сравнению с  $\gamma_{mn}$ , относительная величина коэффициента  $A^{(1)}$  мала, так что искажение контура усиления незначительно.

Таким образом, пленение приводит к существенному искажению формы контура усиления только в области близких частот сильной и слабой

$\gamma_m > \gamma_{mn} \geq (\gamma_m + \gamma_n)/2$ , рассчитанное значение коэффициента  $-\text{Im}(\overline{M}_0^{(u)} + \overline{L}_0^{(u)*})$  оказывается отрицательным. Этот факт говорит о том, что в модели трех релаксационных констант при малой ширине нижнего уровня нельзя считать произвольным отношение заселенности уровней  $N_m/N_n$ : при  $\gamma_m > \gamma_{mn}$  нижний уровень не может заселяться, если одновременно верхний уровень не заселяется.

Изменение формы контура спонтанного испускания вследствие пленения излучения определяется величиной  $-\text{Im} A^{(u)}$ , которая характери-

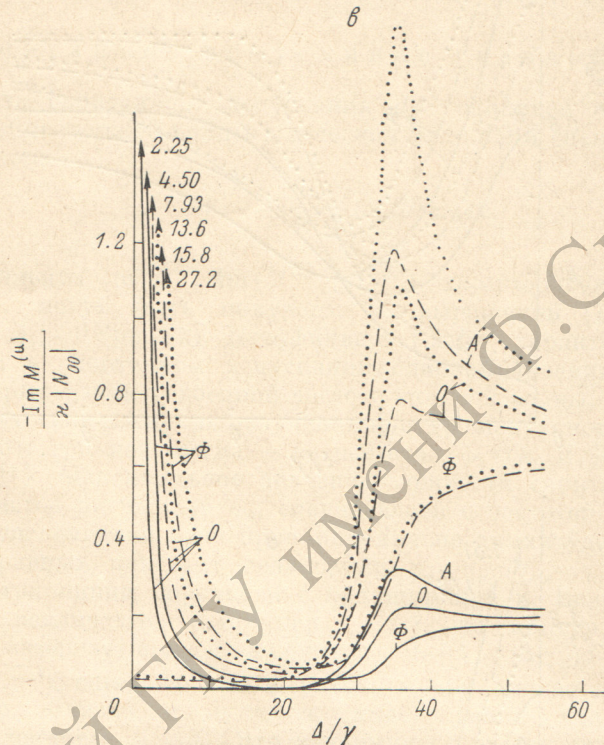


Рис. 2 (продолжение).

зует появление в центре линии резкой структуры ширины  $\Gamma_u$  [см. (15)]. Значение  $A^{(u)}$  в центре линии равно

$$A^{(u)}|_{\Delta=0} = i \omega \frac{\gamma_{mn} a}{2\Gamma(1+a)} \left[ N_n + \frac{N_0}{2} \left( 1 + \frac{\gamma_{mn}^2}{\Gamma^2} \right) + N_0 \frac{\zeta_{n0}}{\zeta_{m0} + \zeta_{n0}} \right]. \quad (19)$$

В случае пленения с одного верхнего уровня ( $\nu_m = \nu$ ,  $\nu_n = 0$ ) величина  $-\text{Im} A^{(u)}|_{\Delta=0}$  отрицательна, т. е. в центре линии спонтанного испускания существует узкий провал ширины  $\Gamma_u$ . В сильном поле глубина провала уменьшается с увеличением поля, в слабом поле — растет: при накачке на один верхний уровень ( $N_n = 0$ ) — пропорционально интенсивности поля ( $a$ ), при накачке на один нижний уровень (поглощающая среда,  $N_n = -N_{00}$ ) — пропорционально квадрату интенсивности [см. (19)].

В случае пленения излучения с одного нижнего уровня ( $\nu_m = 0$ ,  $\nu_n = \nu$ ) нелинейный интерференционный эффект (отличие  $\overline{M}^{(0)}$  от нуля [см. (10)], определяющее последнее слагаемое в (19)) изменяет величину  $A^{(u)}$ . При накачке на один верхний уровень ( $N_{n0} = 0$ ,  $N_n = N_0 a$ ) получаем, что коэффициент  $-\text{Im} A^{(u)}$  отрицателен, т. е. в центре линии спонтанного испускания имеется провал ширины  $\Gamma_u$ , глубина которого с увеличением поля в слабых полях растет пропорционально интенсивности поля ( $a$ ), в сильных — убывает обратно пропорционально напряженности поля ( $\Gamma$ ). При накачке на один нижний уровень [ $N_n = -N_0 = -N_{00}/(1+a)$ ] из (19) получим, что коэффициент  $-\text{Im} A^{(u)}|_{\Delta=0}$  положителен, т. е. в случае по-

глощающей среды, в которой имеется пленение излучения с нижнего уровня, в центре линии спонтанного испускания имеется узкий пичок ширины  $\Gamma$ . Высота этого пичка при увеличении поля в слабом поле растет пропорционально интенсивности поля ( $a$ ), а в сильном убывает обратно пропорционально интенсивности ( $a\Gamma$ ).

Авторы благодарят М. П. Чайку за полезные обсуждения.

#### Литература

- [1] А. П. Кольченко, С. Г. Раутян. ЖЭТФ, 54, 959, 1968.
- [2] А. П. Кольченко, А. А. Пухов, С. Г. Раутян, А. М. Шалагин. ЖЭТФ, 63, 1173, 1972.
- [3] В. П. Кошанов, С. Г. Раутян, Э. Г. Сапрыкин, А. М. Шалагин. ЖЭТФ, 70, 2074, 1976.
- [4] Г. Е. Ноткин, С. Г. Раутян, А. А. Феоктистов. ЖЭТФ, 52, 1673, 1967.
- [5] С. Г. Зейгер. Тез. докл. VIII Всес. конф. по когерентной и нелинейной оптике, Тбилиси, 2, 185, 1976.
- [6] С. Г. Зейгер. Теоретические основы лазерной спектроскопии насыщения. Изд. ЛГУ, Л., 1978.
- [7] Е. В. Бакланов, В. П. Чеботаев. ЖЭТФ, 60, 552, 1971.
- [8] Э. Е. Фрадкин. Опт. и спектр., 39, 1178, 1975.
- [9] Ю. М. Голубев. ЖЭТФ, 69, 875, 1975.

Поступило в Редакцию 6 июля 1978 г.